

論文

並列ディスクデータベースマシンにおける大量データアクセス

トランザクションの並行制御方式

正員 大森 匡[†] 正員 喜連川 優[†] 正員 田中 英彦[†]

Concurrency Control of Bulk Access Transactions on a Parallel Disk Database Machine

Tadashi OHMORI[†], Masaru KITSUREGAWA[†] and Hidehiko TANAKA[†], Members

あらまし 本論文では、大量のデータを処理するトランザクションの並行制御方式として「重み付きトランザクション順序グラフ」を用いた先読みスケジューラを提案する。実行環境としては、複数のディスクモジュールから構成された非共有型並列データベースマシンを想定している。このグラフはトランザクションの直列可能性とその実行コストを表しており、これを用いてデータ競合・リソース競合のより小さい直列可能スケジュールを生成できる。シミュレーションでは、提案したスケジューラは2相ロック、一括ロック、楽観的ロックに対し1.3倍から2倍の性能向上が得られている。

1. まえがき

データベースサービスにおけるバッチ処理は通常、ファイルの全数読出しや全数更新のように大量のデータをアクセスするトランザクションである。銀行業務などのオフライン処理ではこうしたトランザクションを短時間内に大量に実行する必要があり、データベースマシン上でのその並行実行は不可欠である。本論文では、こうしたトランザクションを大量データアクセストランザクション(Bulk Access Transaction, 以下BATと略す)と呼び、その直列可能スケジューラを提案する。

BATは長時間トランザクション(Long Lived Transaction, 以下LLT)に類別される⁽¹⁾。従来の並行制御の研究はオンライン時の銀行業務などの短時間トランザクション処理⁽⁸⁾やCAD指向のLLT処理を扱っており、BAT間の並行処理は十分議論されていなかった。

BAT処理の特徴はデータ競合およびリソース競合が大変高い点にある。データ競合とはデータベースの各データが排他的に使用される際に生じる競合を指し、

リソース競合とはディスク等の資源のふくそう(congestion)を言う⁽²⁾。BAT処理ではファイル単位ロックなどの粗いロック単位が必要であるためデータ競合は非常に高く、ロック要求はブロックされる確率が高い。更に大量データ処理のため資源のふくそうも高く、BATのアボート(取消操作)は無駄が大きすぎる。従来のロック規約はこうした環境を想定していなかった。

本論文では、並列ディスクモジュールからなるデータベースマシン上でのBAT処理を扱う。このとき、高いデータ競合・リソース競合はディスクモジュール間の負荷不均衡を起こし処理性能を低下させる。そこで、この二つの競合をできるだけ抑えた直列可能スケジュールを生成することが望ましい。

そのため我々は重み付きトランザクション順序グラフ(Weighted Transaction Precedence Graph, 以下WTPG)と、これを用いた先読みスケジューラを提案する。WTPGはトランザクションの実行コストを辺に与えたトランザクション順序グラフである。WTPG上で臨界経路を最短とする直列可能順序を計算しこの順序に従うロック要求のみを認めることで、データ競合・リソース競合をより小さくしたスケジュールを出力できる。この計算問題は一般にNP困難であるため、ここではWTPGを鎖型WTPGと呼ぶ形に限定し、

† 東京大学工学部電気工学科

Faculty of Engineering, The University of Tokyo, Tokyo, 113
Japan

$O(n^2)$ でこれを計算する。

提案されるスケジューラでは、トランザクションは実行開始時にそのアクセスデータ集合と「コスト情報」を宣言する。その代わり、このスケジューラではデッドロックがなく、ブロック鎖による性能低下が少なく、実際に並列に動くトランザクション数が高く保たれる。

以下、仮定する環境とモデルについて2.で述べた後に3.でWTPGによる先読みスケジューラを提案し、4.で鎖型WTPGの最短臨界経路を計算する多項式時間算法を述べる。シミュレーション結果と議論は5.に示す。最後に6.で本論文を要約する。

2. モデルと仮定

2.1 実行環境

本論文では非共有型(Shared Nothing)データベースマシン⁽³⁾上で、各リレーションがレンジ分割されたファイル配置を仮定する。

非共有型データベースマシンは複数のディスクモジュール(Disk Module, 以下DM)をネットワークで結合した構成をとる。各DMは、データベースを格納する複数のディスクをもつ計算機であり、フィルタ処理・クラスタ処理などを実行する。

レンジ分割⁽⁴⁾では、各リレーションは、指定された属性の値のレンジ(範囲, range)(例えば属性 Id に対し、 $0 \leq Id < 10$, $10 \leq Id < 20$, $20 \leq Id$ の3レンジ)に応じて複数の区画(partition)に水平分割され、1区画ずつ各DMに配置される。

レンジ分割では、分割属性上のレンジ問合せはすべてのDMのうち、少数のDM上でのみ大量データ処理を実行する。これはDM間の負荷不均衡を引き起こし処理性能を低下させる。この負荷不均衡に対する単純な対策は各リレーションをランダムやハッシュによって全DM上に分割することである。しかし、この手法はソートやクラスタ化されたファイルをそのまま格納できない。これらのファイル編成法は短時間トランザクション処理には不可欠なものである。また、CPU負荷を低くするためには各リレーションをごく少数のDM上に分割した方が有利である⁽⁵⁾。この場合、リレーションの全数アクセスでもやはりDM間の負荷不均衡を引き起こす。従って本論文で前提とするDM間の負荷不均衡は一般的なものである。

2.2 トランザクションモデル

BATは、各区画への読み出し・書き込みステップの直列

系列としてモデル化する。各ステップはアクセスする区画のもつ分割属性上のレンジに対応する選択条件をもつものとする。読み出し・書き込みには共有ロック・占有ロックを獲得し、障害回復のため一度得たロックはコミット時まで離さない。各BATは、自分の実行開始時に、その読み出しデータ集合および書き込みデータ集合を宣言する。ロックの単位としては区画を用いる。1区画へのロックは、その区画の分割属性上のレンジへの述語ロックである。更新時にレコード単位の占有ロックを使わない理由は、BATの場合大量データを更新するため、更新する区画上の共有述語ロックと衝突する確率が高いこと、またロック処理の負荷が高いことによる。

BATのコストは、データアクセスのコストのみによって決める。すなわち、区画Pの $a\%$ を読み出すとき、読み出しステップ $r(P)$ にはコスト $a|P|$ を、書き込みステップ $w(P)$ にはコスト $2a|P|$ を与える。 $(|P|$ は区画Pのサイズ)。係数2は更新するデータをディスクから読み出すコストを表すために付けた。 $r(P)$, $w(P)$ はPに対してロックをもってもP上のインデックスによってその一部のみをアクセスできる。区画のサイズ単位としては特に値は定めず「単位(unit)」自体を使う。1単位時間は1単位サイズのデータをDM1個上でアクセスする時間とする。1単位サイズはそのデータアクセス以外のコストを無視できるほど十分大きいとする。例えば、1単位サイズを10MB, DM1個のデータ処理速度を1MB/secとすると1単位時間は10秒となり、制御負荷などは十分無視できる。

大量データ更新のため更新したデータはすぐにディスクにはき出し、コミットまで主記憶におかない。従ってコミットから終了までのコストは無視する。DMは、各ステップを他ステップによる割込みなしで実行する。大量データアクセスの高速化には、データをディスクの連続領域において割込みなしでアクセスする手法が効果的だからである。

並行制御装置はあるDMがアイドルになった際に呼び出され、そのDMの実行待ちキュー(Ready Queue)から次に動かすステップを選び出す。これは、ロックをとったトランザクションが各DMのふくそうによって実行されない状況をできるだけ回避するためである。各QueueはFCFS(First Come First Service)を仮定する。

2.3 スケジュール例

例題として、図1にトランザクションT1からT4の

コストモデルと区画5個のディスクモジュール DM_1, DM_2 への配置を示す。 $r_i(P), w_i(P)$ は、 T_i の区画 P への読み出し、書き込みステップである。この例では読み出しが区画の100%，書き込みは50%アクセスとしている。コミットは各ランザクションの最後にくるが以後省略する。

T_1, T_2, T_3, T_4 がこの順に並行制御装置(CC)のReady Queue(RQ)に並んでいるとする。図2(a)は先読み2相ロック規約(Cautious 2 Phase Lock, 以下C2PL)によるスケジュールをガント図⁽⁷⁾で表したものである。但し、図2の1クロック(1 clock)は2.2に述べた1単位時間としている。C2PLは、ロック要求がロックされずかつ将来にわたってデッドロックが発生しない限りそれを認める⁽⁶⁾2相ロック規約である。ここでは直列可能順は $\{T_1, T_2 \rightarrow T_3 \rightarrow T_4\}$ となり、そのスケジュールは DM_1 上の $r_1(D)$ によるふくそとブロックの連鎖 $T_2 \rightarrow T_3 \rightarrow T_4$ によって DM_1, DM_2 上にアイドル時間を作る(図2(a))。

- Partition & its size
 - A : 1 unit. C : 1 unit.
 - D : 4 unit. E : 3 unit. F : 3 unit.
- Data placement
 - E, D on DM_1 . F, A, C on DM_2 .
- Transaction Model
 - $T_1: r_1(D)$.
 - $T_2: r_2(A) \rightarrow r_2(E) \rightarrow w_2(A)$.
 - $T_3: r_3(C) \rightarrow w_3(A) \rightarrow w_3(C)$.
 - $T_4: w_4(C) \rightarrow w_4(F)$.

図1 ランザクションモデル例

Fig. 1 Transaction model and data placement.

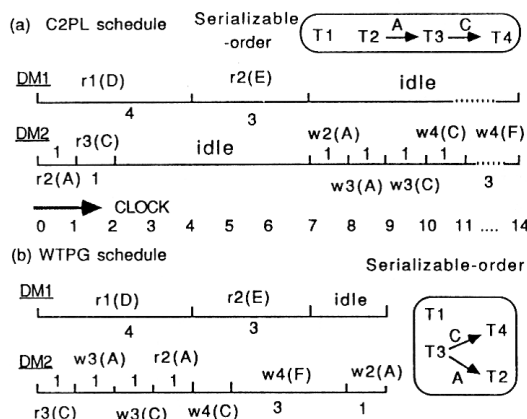


Fig. 2 Gantt chart of the transactions in Fig. 1 by (a) C2PL (b) WTPG.

このディスク上のふくそとブロック連鎖は、リソース競合・データ競合として文献(2)に指摘されている。BAT処理では、粗いロック単位と大量データ処理のためにこの二つの競合は本質的に高く、ディスクモジュール間の並列動作を妨げる。そのため、この二つの競合ができるだけ小さくなるようにスケジュールを行う必要がある。

図2(b)は DM_2 上時刻0で $r_3(C)$ 、時刻1で $w_3(A)$ を実行した場合のガント図である。直列可能順は $\{T_1, T_3 \rightarrow T_4, T_3 \rightarrow T_2\}$ となる。この順序の方が図2(a)の場合よりも競合が小さく、ディスクモジュールが並列に動作できる。スケジューラはこうした直列可能順を予測し、この順に従うロック要求のみを認めるべきである。

3. アプローチ

3.1 スケジュール戦略

スケジューリングの理論では、本論文の問題は直列可能性制約のもとでの一般ジョブショップの動的スケジューリングである⁽⁷⁾。我々は、スケジューラにデータ競合・リース競合のより少ない直列可能順を予想させ、この順序に従うロック要求のみを認める戦略スケジュールを行う。この言わば「望ましい」直列可能順を予想するため、重み付き辺をもつランザクション順序グラフ(Weighted Transaction Precedence Graph, 以下WTPG)を定義する。

[定義1] WTPGは次のグラフ $\langle N, E, C, w \rangle$ である。 $(T_0$ は初期ランザクション、 T_f は最終ランザクション、 T_i, T_j はその他一般のランザクションを表す。)

① N : ランザクションを表すノード集合。

② E : 順序辺 $T_i \rightarrow T_j$ (「 T_i は T_j より直列可能順で先行する」を表す)の集合。次に示す選択辺(T_i, T_j)を置き換えることによってのみ生成される。各 T_i に対し、 $T_0 \rightarrow T_i$ 、また $T_i \rightarrow T_f$ が成立する。

③ C : 選択辺(T_i, T_j)の集合。 (T_i, T_j) は辺 $T_i \rightarrow T_j, T_j \rightarrow T_i$ の対であり、 T_i と T_j が直列可能順で競合することを示す。辺(T_i, T_j)は、 T_i と T_j があるデータに競合するアクセスを宣言した際に生成される。 T_i が T_j に直列可能順で先行することが決まれば、 E の元 $T_i \rightarrow T_j$ に置き換えられる。この操作を選択辺の解消と呼ぶ。

選択辺(T_i, T_j)、順序辺 $T_i \rightarrow T_j$ は T_i と T_j があるデータに競合するアクセスを行うときのみ生成される。

④ $w : E \cup C$ の辺 $T_i \rightarrow T_j$ に対する重み $w(T_i \rightarrow T_j)$ を与える関数であり、次のように重みを決める。

・ $w(T_0 \rightarrow T_i)$: 現時刻 t_0 から T_i が最も早くコミットする場合の時刻 t_1 までの時間 $t_1 - t_0$. T_i の最早コミット時間または準備時間と呼ぶ。時刻 t_1 は、時刻 t_0 以後 T_i のステップがブロックされず、かつ、実行可となつた際には、現時刻 t_0 で動作中のステップの次にすぐ実行されると仮定して計算する。

・ $w(T_i \rightarrow T_f)$: T_i のコミットからその終了までの時間。

・ $w(T_i \rightarrow T_j)$: T_i がコミットした時刻 t_2 から、 T_j が最も早くコミットする場合の時刻 t_3 までの時間 $t_3 - t_2$. 但し T_j は、 T_i と競合していたステップの実行を始めた後にはブロックされず、また、その実行可能なステップは DM のふくそくによって待たされることなく、すぐに実行されると仮定する。□

$w(T_0 \rightarrow T_i)$ は各 DM のふくそくと T_i のデータアクセス系列とから計算され、スケジュールの進行に伴い更新される。 $w(T_i \rightarrow T_j)$ は T_i と T_j の両方が宣言された際に DM のふくそくとは無関係にそのデータアクセス系列のみから計算され、以後更新されない。

[例] 図 3 は図 2(a), 時刻 0 で $r1(D)$ が実行開始した後の WTPG である。簡単のため T_1 は省略する。辺 $T_0 \rightarrow T_2$ は T_2 の最早コミット時間 8 を重みとしてもつ: $r2(E)$ が $r1(D)$ の終了後 DM_1 上で時刻 4 に開始し次ステップ $w2(A)$ が時刻 7 で開始する場合に、 T_2 は最も早く終了するからである。辺 $T_2 \rightarrow T_3$ の重みは $w3(A)$, $w3(C)$ のコスト和 2 となる: T_3 は、 T_2 がコミットし競合するデータ A の占有ロックを解放後に $w3(A)$ を実行開始するからである。2.のコストモデルの仮定より、すべての辺 $T_i \rightarrow T_f$ は重み 0 をもつ。□

WTPG の全ノードからなる直列可能順(全直列可能順と呼ぶ)が与えられると、WTPG のすべての選択辺は解消される。このとき T_0 から T_f への臨界経路長は、この全直列可能順に従うスケジュールの最早終了

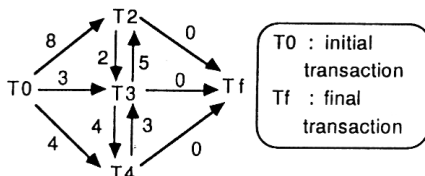


図 3 WTPG の例

Fig. 3 Example of WTPG.

時間である。

我々の戦略は、この臨界経路が最短になるように WTPG の選択辺を解消する全直列可能順 W を計算し、 W に矛盾しないロック要求のみを認めることである。これによってデータ競合・リソース競合がより小さくなるように直列可能スケジュールを生成できる。ブロック連鎖は臨界経路を長くし、ディスクのふくそくはトランザクションの準備時間を長くするからである。

[例] 図 3 では $W = \{T_3 \rightarrow T_4, T_3 \rightarrow T_2\}$ が最短臨界経路を作る全直列可能順である。図 4(b)が W によって(その選択辺を)解消された WTPG であり、その臨界経路は $\{T_0 \rightarrow T_3 \rightarrow T_2\}$ 、長さ 8 となる。2.3 の C2PL スケジューラは直列可能順 $\{T_1, T_2 \rightarrow T_3 \rightarrow T_4\}$ を作り、その臨界経路は $T_0 \rightarrow T_2 \rightarrow T_3 \rightarrow T_4$ 、長さ 14 となる(図 4(a))。スケジューラは、 W に従うロック要求のみを認めることで T_3 のステップ $r3(C)$, $w3(A)$ を $r2(A)$, $w4(C)$ よりも優先して実行する。□

3.2 WTPG による先読みスケジューラ

WTPG による先読みスケジューラ CC は以下の手順で動作する。

〈手順 0〉 あるディスクモジュール DM_i がアイドルになり CC を呼び起す。

〈手順 1〉 現在の WTPGにおいて、最短臨界経路を生成する全直列可能順 W を計算する。

〈手順 2〉 DM_i の Ready Queue にあるステップのうち、ブロックされず、かつ W に矛盾する直列可能順序を生成しないステップ q を探す。

〈手順 3〉 q があればそのロックを認め DM 上で実行する。このとき WTPG 上の辺 $T_0 \rightarrow T_i$ (i は任意) の重みを必要なら更新する。

〈手順 4〉 q がなければ DM_i は指定時間後に再び CC を呼び起す。□

新しくトランザクション T が到着したとき WTPG

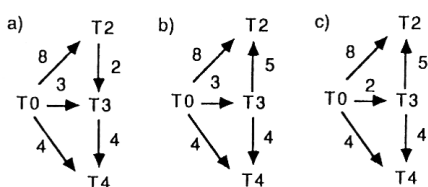


図 4 時刻 0 での WTPG

Fig. 4 WTPG resolved by (a) C2PL at clock 0 (b) the shortest critical path at clock0 (c) the shortest critical path at clock1.

内でその選択辺の重みを計算する必要がある。そのため、 T はその開始時に全読出し・書き込み集合と共にそのためのロックの「残り時間」を宣言しなければならない。あるロックの「残り時間」とは、 T がそのロックをとった時刻から最も早くコミットする場合の時刻までの時間である(DM のふくそくは無視する)。これは T のデータアクセス系列のみから計算できる。

[例] 図 2(b)は上のスケジューラによるスケジュールである。前提は図 2(a)のそれと同じである。図 2(b)で時刻 0, $r1(D)$ が開始された後、最短臨界経路を作る直列可能順 W は図 4(b)に示した。時刻 0, $DM2$ において $r2(A)$ を認めた場合、それによって直列可能順 $\{T2 \rightarrow T3\}$ が生成され、 W に矛盾する。そのため、 $r2(A)$ はロックは認められず遅延される。代わりに $r3(C)$ が制約 $\{T3 \rightarrow T4\}$ が W に従うため実行される。時刻 1 で $T3$ の準備時間は変更され WTPG は図 4(c)のようになる。ここでも W は変わらない。故に $r2(A)$ は再び遅延され $w3(A)$ が $DM2$ 上で実行される。 \square

4. 鎖型 WTPG によるスケジューラ

4.1 鎖型 WTPG の最短臨界経路計算法

3.のスケジューラでは、WTPG において最短臨界経路を作る直列可能順を計算する必要がある。以下、経路は $T0$ から Tf への経路を意味する。この問題は任意の WTPG では NP 困難である(付録参照)。ここでは WTPG を次に示す部分クラスに限定しこの問題の厳密解を求める $O(n^2)$ 算法を述べる。以下、 $n(k)$ はラベル k のノードを表し、 $n(1), n(2)$ 等は $n1, n2$ と表記する。

[定義 2] 鎖型 WTPG とは $T0, Tf$ 以外のノードに次のようにラベル $1, 2, \dots, N$ を付けることができる WTPG である: $n(k)$ (但し $2 \leq k \leq N-1$) はたかだか $n(k-1)$ または $n(k+1)$ とのみ直列可能順で競合する。 \square

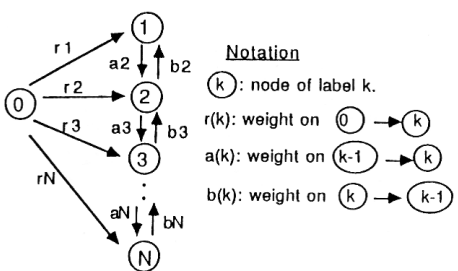


図 5 鎖型 WTPG $G(1, N)$
Fig. 5 Chain-form WTPG $G(1, N)$.

図 5 はノード $n1, n2, \dots, n(N)$ からなる鎖型 WTPG $G(1, N)$ であり、 $n(k)$ が必ず $n(k-1), n(k)$ と競合している場合である。 $n0$ は初期トランザクションであり最終トランザクションは以後省略する。定義 2 では $n(k)$ は $n(k-1), n(k+1)$ の両方と必ず競合するとは限らないが、簡単のため以後、図 5 の場合のみを考える。また、ある選択辺 $(n(k), n(k+1))$ が $n(k) \rightarrow n(k+1)$ (または $n(k) \leftarrow n(k+1)$) に既に解消されている場合には、これと対の辺の重み $b(k+1)$ (または $a(k+1)$) を無限大として扱う。

以下、 $G(i, j)$ は $n0$ と $\{n(i), n(i+1), \dots, n(j)\}$ からなる $G(1, N)$ の部分グラフを表す。また、選択辺 $(n(i), n(i+1))$ が $n(i+1) \rightarrow n(i)$ に解消されるときこれを「上向きに解消する」と言い、 $n(i) \rightarrow n(i+1)$ に解消されるときは「下向きに解消する」と言う。以下に定義するパラメータ $L(k), R(k)$ を計算することで最短臨界経路が計算される。

[定義 3] $L(k), R(k)$ は各々次に定義される三つ組 ($curr, crit, rev$) である(各メンバは $L(k).curr$ のように〈パラメータ名〉、〈メンバ名〉で表記する)。

今、 $G(k-1, N)$ において選択辺 $(n(k-1), n(k))$ が下向きに解消されたとする。このとき、この $G(k-1, N)$ において最短臨界経路を作る直列可能順を $S1(k-1, N)$ としよう。 $L(k)$ は辺 $n(k-1) \rightarrow n(k)$ 上で次のように定義される。

- $L(k).crit : S1(k-1, N)$ によって選択辺を解消された $G(k-1, N)$ における最短臨界経路長。

- $L(k).rev : S1(k-1, N)$ において選択辺 $(n(i), n(i+1))$ が上向きに解消されているラベル i のうち、最小のラベル。

- $L(k).curr : 経路 n0 \rightarrow n(k-1) \rightarrow n(k) \rightarrow \dots \rightarrow n(L(k).rev-1) \rightarrow n(L(k).rev)$ の長さ。

選択辺 $(n(k-1), n(k))$ が上向きに解消された $G(k-1, N)$ において、その最短臨界経路を作る直列可能順を $S2(k-1, N)$ とする。 $R(k)$ は辺 $(n(k), n(k-1))$ 上で次のように定義される。

- $R(k).crit : S2(k-1, N)$ によって選択辺を解消された $G(k-1, N)$ における最短臨界経路長。

- $R(k).rev : S2(k-1, N)$ において選択辺 $(n(i), n(i+1))$ が下向きに解消されているラベル i のうち、最小のラベル。

- $R(k).curr : S2(k-1, N)$ により選択辺を解消された $G(k-1, R(k).rev)$ における $n0$ から $n(k-1)$ への臨界経路長。

[例 1] 図 6(a)は鎖型 WTPG $G(2, 4)$ と上で定義された $L(4), R(4)$ を示す。図 6(b)に $L(3)$ を計算する場合を示す。このときまず選択辺 $(n2, n3)$ が下向きに解消される。すると $n3 \rightarrow n4$ と $n4 \rightarrow n3$ のうち、前者の方が $G(2, 4)$ でより短い臨界経路を作る。従って $L(3).curr$ と $L(3).crit$ を構成する経路は $n0 \rightarrow n2 \rightarrow n3 \rightarrow n4$ であり、 $S1(2, 4) = \{n2 \rightarrow n3 \rightarrow n4\}, L(3) = (8, 8, n4)$ となる。 $R(3)$ の場合も同様にして $S2(2, 4) = \{n3 \rightarrow n2, n3 \rightarrow n4\}$ が最短臨界経路 $n0 \rightarrow n3 \rightarrow n4$ を生成する(図 6(c))。

□

$L(k), R(k)$ の定義より明らかに次の定理が成立する。

[定理 1] $G(k, N)$ において $L(i), R(i)$ (但し $i = k+1, \dots, N$)が与えられたとする。このとき $S1(k, N), S2(k, N)$ 、また $G(k, N)$ で最短臨界経路 P を作る直列可能順 $S(k, N)$ は次式で計算できる。

 $S1(k, N)$

$$= \{n(k) \rightarrow n(k+1) \rightarrow \cdots \rightarrow n(L(k+1).rev)\} \\ \cup S2(L(k+1).rev, N)$$

 $S2(k, N)$

$$= \{n(k) \leftarrow n(k+1) \leftarrow \cdots \leftarrow n(R(k+1).rev)\} \\ \cup S1(R(k+1).rev, N)$$

但し $S1(k, k) = S2(k, k) = \emptyset$ for all k . P の長さ $= \min(L(k+1).crit, R(k+1).crit)$ If $L(k+1).crit \leq R(k+1).crit$ then $S(k, N) = S1(k, N);$

else

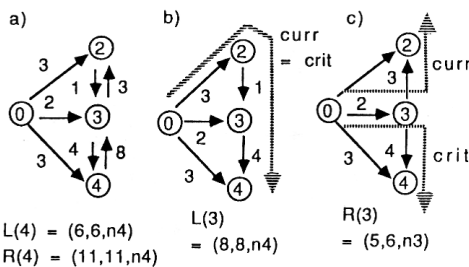
 $S(k, N) = S2(k, N);$

□

[例 2] 例 1(図 6(a))では $L(3).crit = 8 > R(3).crit$ より $S(2, 4) = S2(2, 4) = \{n2 \leftarrow n3\} \cup S1(3, 4) = \{n2 \leftarrow n3 \rightarrow n4\} \cup S2(4, 4) = \{n2 \leftarrow n3 \rightarrow n4\}$

□

[定理 2] $G(k-1, N)$ (図 5)において $L(i), R(i)$ (但し $i = k+1, k+2, \dots, N$)が与えられたとする。このとき $L(k), R(k)$ は $O(N-k)$ で計算される。 □

(略証) $L(k)$ を計算する算法 Lcompを以下にC言語Fig. 6 $L(k), R(k)$ の例Fig. 6 Example of $L(k)$ and $R(k)$.

風の記法で示す。ここで変数 $a(i), b(i), r(i)$ は図 5 の $G(1, N)$ の各辺の重みである。

```

Lcomp(  ){
    /* procedure for L1(k) */
    temp=L(k+1).curr-r(k)+r(k-1)+a(k);
    if (temp<=L(k+1).crit)
        L1(k)=(temp, L(k+1).crit, L(k+1).rev);
    else /* temp>L(k+1).crit */
        L1(k).crit
            = min(max(V(h), R(h+1).crit)); 式 (1)
        for all h=k+1 to L(k+1).rev
            L1(k).rev=h0;
            L1(k).curr=C(h0);
        /*   h0 は上の式(1)で最小値をとる h の値.
        *   変数 C(h), V(h) は次式で計算される.
        *   V(k-1)=C(k-1)=r(k-1);
        *   V(h)=max(r(h), V(h-1)+a(h)); (k=< h)
        *   C(h)=C(h-1)+a(h); (k=< h)
        */
    } /* / end of L1(k) */
    /* procedure for L2(k): */
    L2(k).curr=r(k-1)+a(k);
    L2(k).crit=max(L2(k).curr, R(k+1).crit);
    L2(k).rev=k; /* end of L2(k) */
    if (L1(k).crit<=L2(k).crit)
        L(k)=L1(k);
    else
        L(k)=L2(k);
}

```

算法 Lcomp 中、 $L(k)$ は $L1(k)$ と $L2(k)$ の $crit$ の小さい方の値である。ここで、 $L1(k)$ は辺 $(n(k), n(k+1))$ が下向きに解消されたときの $L(k)$ の値であり、 $L2(k)$ は上向きに解消されたときの $L(k)$ である。 $L1(k), L2(k)$ はそれぞれ最初は直列可能順 $\{n(k-1) \rightarrow n(k)\} \cup S1(k, N)$ 、および $\{n(k-1) \rightarrow n(k)\} \cup S2(k, N)$ によって $G(k-1, N)$ の選択辺を解消した場合を考えればよい。

$L1(k)$ を計算する場合、辺 $n(k-1) \rightarrow n(k)$ を加えることで新しく経路 $P_0 = n0 \rightarrow n(k-1) \rightarrow n(k) \rightarrow n(k+1) \rightarrow \cdots \rightarrow n(L(k+1).rev)$ が生成される。算法 Lcomp 中、変数 temp が P_0 の長さである。

P_0 が $G(k, N)$ の臨界経路長 $L(k+1).crit$ よりも長い場合、直列可能順 $\{n(k-1) \rightarrow n(k)\} \cup S1(k, N)$ では P_0 が $G(k-1, N)$ での臨界経路である。しかし P_0 を

構成するある選択辺 $(n(h), n(h+1))$ を上向きに解消すれば P_0 よりも臨界経路が短くなる場合がある。

今、 h を $G(k-1, N)$ において辺 $(n(h), n(h+1))$ が上向きに解消されている最小ラベルとしよう。すなわち、直列可能順 $S(h) = \{n(k-1) \rightarrow n(k) \rightarrow \dots \rightarrow n(h)\} \cup S2(h, N)$ を想定する(但し、 $k+1 \leq h \leq L(k+1).rev$)。Lcompにおいて変数 $C(h)$ は経路 $P(h) = \{n0 \rightarrow n(k-1) \rightarrow n(k) \rightarrow \dots \rightarrow n(h)\}$ の長さであり、 $V(h)$ は $P(h)$ で解消された $G(k-1, h)$ の臨界経路長である。

$S(h)$ では辺 $(n(h), n(h+1))$ が上向きに解消されているため $S2(h, N)$ が定義 3より $G(h, N)$ の最短臨界経路を作る。このとき $G(k-1, h)$ と $G(h, N)$ とは連結していない。故に $G(k-1, N)$ の臨界経路は両者のそれの長い方、すなわち $\max(V(h), R(h+1).crit)$ となる。

算法 Lcomp() のうち、式(1)は h を $k+1$ から $L(k+1).rev$ まで変えて $G(k-1, N)$ の臨界経路を最短にする $h=h0$ を求める。 $V(h)$ 、 $C(h)$ は式(1)のループ内で $O(1)$ で計算されるため $L1(k)$ は $O(N-k)$ で正しく計算される。これ以外の $L1(k)$ 、 $L2(k)$ の計算はその定義により自明であり省略する。 $R(k)$ の場合は付録補題 1に示した。 \square

$L(k)$ 、 $R(k)$ を $k=N$ から $k=2$ まで定理 2より計算することで $L(2)$ 、 $R(2)$ が求まる。従って定理 1より次の系が成立する。

[系 1] 鎖型 WTPG $G(1, N)$ (図 5)の最短臨界経路を作る直列可能順は $O(N^2)$ で計算できる。

[例 3] 図 7(a)は図 6(b)の WTPG にノード $n1$ とその辺 $n0 \rightarrow n1$ 重み 5、 $n1 \rightarrow n2$ 重み 10 を加えたものに対し $L1(2)$ を計算する場合を示す。 $S1(2, 4)$ で解消された $G(2, 4)$ (図 6(b))に辺 $n1 \rightarrow n2$ を加えると $P = n0 \rightarrow n1 \rightarrow n2 \rightarrow n3 \rightarrow n4$ 、長さ 20 の経路が $G(1, 4)$ の臨界経路である。しかし、 P を構成する選択辺 $(n3, n4)$ を

上向きに解消すれば $G(1, 4)$ の臨界経路を更に短くできる(図 7(b))。この場合臨界経路長は $\max(|n0 \rightarrow n1 \rightarrow n2 \rightarrow n3|, R(4).crit) = 16$ であり、 P よりも短い。故に $L1(2)$ は $(16, 16, n3)$ となる。 \square

4.2 実装に関する問題点

鎖型 WTPG によるスケジューラを実装する際、次の 2 点が必要である。

① 新しくトランザクション T を開始する際、 T を追加した WTPG が鎖型か否か検査する。これは深さ優先探索で計算できる。鎖型でなければコミットかアボートが起きるまで T はブロックされる。

② スケジュールの進行に際し、WTPG の各パラメータ $w(T0 \rightarrow T)$ を更新する。これは各 DM 上で T がコミットするまでの残り時間を追跡することで、各 DM のふくそうの更新に対し $O(1)$ で更新できる。

5. 性能評価

5.1 シミュレーションモデル

本節では図 2のようにガント図を生成するシミュレータを用いて性能評価を行う。シミュレーションの 1 クロックは 2.2 に述べた 1 単位時間である。

パラメータとして次の値を用いる。

Numdisk: ディスクモジュールの総数。

Numdata: 区画の総数。

λ : 指数分布における到着率。

使用した規約は先読み 2 相ロック⁽⁶⁾(C2PL)、一括ロック(Atomic Static Lock, ASL, 文献(2))、楽観的ロック⁽⁹⁾(Optimistic Lock, OPT)と鎖型 WTPG によるスケジューラ(CHAIN)である。また性能の上限を出すためいつどんなロック要求でも認める規約 NONE も使う。

ASL では、トランザクションは開始時にすべてのアクセスデータ集合にロックを要求し、これに失敗すると一定遅延後に再実行される。OPT では、トランザクションはそのコミット時に直列可能検査を行い、これに失敗すればアボートされ再実行される。使用する規約のうち、ASL、CHAIN、C2PL はアボートが起きないことに注意してほしい。

性能評価の基準としては飽和点での処理性能 θ を用いる。これは 1 シミュレーションクロック当たり終了するトランザクション数である。 θ は、システムの多重度を無限大として到着率 λ を変えて測定し、処理性能が λ の 90 % となるときの値とする。測定は定常状態に達してから 1000 クロック区間の測定値である。

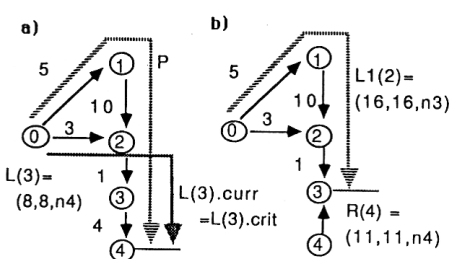


図 7 $L1(k)$ の計算例

Fig. 7 Example of the algorithm for $L1(k)$.

パラメータ値としては Numdisk=8, Numdata=24 とした。8 区画で 1 リレーションを表しており、番号 i の区画は番号= $< i \bmod \text{Numdisk} >$ のディスク モジュールに配置される。この Numdisk, Numdata の値は従来の短時間トランザクションで用いられてきたものよりはるかに小さく⁽³⁾、極端に高いデータ競合とリソース競合を引き起こす。この値を用いる理由は、BAT のアクセスするデータ量はデータベースの増大に比例すると考えるからである。この値では、BAT の 1 レンジ選択が 1 relation の 1/8 にアクセスする場合を仮定している。このとき、たとえ DM が n 個あったとしても、その $n/8$ 個は 1 ステップを並列に実行し、 $7n/8$ 個が他のステップを実行する。そのため Numdisk, Numdata の実質的な値はここで用いるものと同じである。

一般にデータ競合にはブロック連鎖と、アクセスが集中する一部のデータ上の長時間ロックによる性能低下(ホットセット競合)とが挙げられる。次のトランザクションの読み出し・書き込み系列(パターンと呼ぶ)はこのどちらかを少なくとももつ。各ステップは $< r/w >$ (アクセスする区画、このステップのコスト)と表記する。

[パターン 1] 系列 $r(F1:1) \rightarrow r(F2:5) \rightarrow w(F1:0.2) \rightarrow w(F2:1)$ 。はじめ二つの読み出し時に占有ロックを要求する。これは、区画 $F1$ の 20 % 選択の後に $F2$ との join 演算を行い、その結果に基づいて、これら読み出したデータ量の 10 % を更新する処理をモデル化している。 $F1, F2$ は 5 単位サイズとし、24 区画からランダムに選んだ。join を行う区画を直列に読み出す動作は、文献(4)の hy-brid hash join 算法に基づく。このパターンでははじめの 2 ステップでブロック連鎖が発生する。

[パターン 2] 系列 $r(B1:1) \rightarrow r(B2:2) \rightarrow r(B3:2) \rightarrow w(F1:1) \rightarrow w(F2:1)$ 。このパターンは、区画 $B1, B2, B3$ の join の結果に基づいて区画 $F1, F2$ を更新する処理をモデル化している。 $B1, B2, B3$ は 2 単位サイズの区画 8 個(読み出し専用の 1 リレーションを表し、Numdisk 個のディスクに 1 区画ずつ配置される)からランダムにそれぞれ選び、 $B1$ は 50 %、 $B2$ と $B3$ は 100 % 読み出しどとする。 $F1, F2$ は 1 単位サイズの区画 16 個からランダムにとりその 50 % を更新する。この 16 区画上でホットセット競合が起こる。

[パターン 3] 系列 $r(B:4) \rightarrow w(F1:1) \rightarrow w(F2:4)$ 。 B は読み出し専用の 4 単位サイズの区画 8 個(1 区画ずつ各 DM に配置する)からランダムに選ぶ。 $F1, F2$ は

表 1 飽和点での処理性能

	NONE	ASL	C2PL	CHAIN	OPT
パターン 1	1.01	0.81	0.39	0.80	0.29
パターン 2	1.06	0.66	0.89	0.90	0.69
パターン 3	0.82	0.46	0.40	0.63	0.40

4 単位サイズの 16 区画からとり、各々 1/8, 1/2 を更新する。このパターンは書き込み時にブロック連鎖とホットセット競合を両方引き起こす。

5.2 実験結果と議論

5.1 の各トランザクションパターンについて飽和点での処理性能を表 1 に示す。

パターン 1 では ASL がブロックを起こさないため最も処理性能が高くなる。表 1 では CHAIN は ASL とほぼ同じ性能であることから、ブロック連鎖を完全に回避できることがわかる。C2PL ではブロック連鎖のため CHAIN, ASL に対し 1/2 の性能しか得られていない。この実験では OPT の場合、リソース競合が飽和点付近で 95 % 以上と高くなつた。これより、高いデータ競合はアボート率を引き上げるため、結局はディスクの有効稼働率が低くなり低い処理性能しか得られてないことがわかる。

パターン 2 では、実際に並行に動くトランザクション数(有効多重度)の多い規約ほど読み出しきっぷが並列に動作でき処理性能が高くなっている(表 1)。ASL では区画 1 個に対してトランザクション 1 個しか並行に動けないため、ホットセットがあると有効多重度が大きく低下する。これに対して CHAIN の有効多重度は鎖型の制約により ASL に対して最大 2 倍になる。 k ノードからなる鎖型 WTPG 1 個は $k/2$ 個の孤立点をもつからである。更に C2PL, OPT では有効多重度への制約はない。表 1 より、ホットセット上でデータ競合が起きると、この有効多重度の差が処理性能に大きく影響することがわかる。OPT ではパターン 1 のときと同じく高いデータ競合がアボート率を高くし、ASL 同じ性能しかでていない。

パターン 3 では C2PL, ASL とともにブロック連鎖・ホットセット競合のいずれかを被る。一方、CHAIN はこの両方を回避でき、C2PL, ASL よりも高い処理性能を達成している(表 1)。

6. む す び

本論文では大量データアクセストランザクション(BAT)の並行制御方式として、重み付きトランザクショ

順序グラフ (WTPG) による鎖型 WTPG スケジューラを提案した。BAT 処理ではデータ競合とリソース競合が非常に高くなるためこれらの競合が小さくなるように BAT のスケジュールを行う必要がある。鎖型 WTPG スケジューラでは WTPG を用いてこれらの競合ができるだけ小さくなる直列可能順序が計算され、この順序に従うロック要求のみが認められる。このとき、多項式時間でこの順序を計算するために WTPG のトポロジーが鎖型に限定されている。従って鎖型に WTPG を保てない場合、新しい BAT の開始は遅延される。ガント図上でのシミュレーションでは鎖型 WTPG スケジューラは 2 相ロック、一括ロック、楽観的ロック規約に対し 1.3 倍から 2 倍の性能向上が得られた。

今後の課題として、コスト予測の正確さに対する性能依存度や制御負荷を評価していく必要がある。また鎖型への WTPG の制約は一括ロックとの性能比を抑えているため、任意トポロジーの WTPG を用いた別戦略によるスケジューラを検討する必要がある。

文 献

- (1) J. Gray : "The transaction concept : Virtues and limitations", Proc. 7th Int'l Conf. Very Large Data Bases, pp. 144-154 (1981).
- (2) Y. Tay, N. Goodman and R. Suri : "Locking performance in centralized databases", ACM Trans. Database Syst., 10, 4, pp. 415-462 (1985).
- (3) A. Bhide : "An analysis of three transaction processing architectures", Proc. 14th Int'l Conf. Very Large Data Bases, pp. 339-350 (1988).
- (4) D. DeWitt, R. Gerber, G. Graefe, M. Heytens, K. Kumar and M. Muralikrishna : "GAMMA-A high performance dataflow database machine", Proc. 12th Int'l Conf. Very Large Data Bases, pp. 228-237 (1986).
- (5) G. Copeland, W. Alexander, E. Boughter and T. Keller : "Data placement in Bubba", Proc. ACM SIGMOD'88, pp. 99-108 (1988).
- (6) S. Nishio, M. Watanabe, Y. Ohiwa and T. Hasegawa : "Performance evaluation on several cautious schedulers for database concurrency control", Proc. 5th Int'l Workshop Database Machines, pp. 212-225 (1987).
- (7) R. Graham, E. Lawler, J. Lenstra and A. Rinnooy Kan : "Optimization and Approximation in Deterministic Sequencing and Scheduling : A Survey", in Annals of Discrete Mathematics, 5, pp. 287-326, North Holland (1979).
- (8) R. Agrawal, M. Carey and M. Livny : "Models for studying concurrency control performance : Alternatives and implications", Proc. ACM SIGMOD'85, pp. 108-121 (1985).
- (9) H. T. Kung and J. T. Robinson : "On optimistic methods for concurrency control", ACM Trans. Database Syst.,

6, 2, pp. 213-226 (1981).

付 錄

[定理 3] 任意の WTPG の最短臨界経路を作る直列可能順の計算問題 SS は NP 困難である。

(略証) 一般ジョブショッピングの静的スケジューリング問題 JS は、disjunctive graph で初期ノードから最終ノードへの臨界経路最短とする disjunctive edge の解消問題である(文献(7)参照)。このグラフは、各ノードの出辺にそのノードのコストを与えた WTPG にはかならない。故に問題 SS は問題 JS を含んでおり、JS が NP 困難なので SS も NP 困難である。□

[補題 1] 定理 2 で $R(k)$ は $O(N-k)$ で計算される。

(略証) $R(k)$ を計算する算法 Rcomp を以下に C 言語風の記法で示す。変数 $r(i)$, $b(i)$ はすべて図 5 に示したもの。

```
Rcomp( ) {
    /* procedure for R1(k) */
    temp=R(k+1).curr+b(k);
    if (max(r(k-1), temp) < R(k+1).crit)
        R1(k)=(max(r(k-1), temp), R(k+1).crit,
                R(k+1).rev);
    else if (max(r(k-1), temp) == r(k-1))
        R1(k)=(r(k-1), r(k-1), R(k+1).rev);
    else /* temp > R(k+1).crit */
        R1(k).crit
            =min(max(V(h), L(h+1).crit)); 式(2)
        for all h=k+1 to R(k+1).rev
        R1(k).rev=h0;
        R1(k).curr=V(h0);
        /* h0 は上の式(2)で最小値をとる h の値。
           * V(h), C(h) は下に示した。 */
    } /* end of R1(k) */
    /* procedure for R2(k) */
    R2(k).curr=max(r(k)+b(k), r(k-1));
    R2(k).crit=max(R2(k).curr, L(k+1).crit);
    R2(k).rev=k; /* end of R2(k) */
    if (R1(k).crit < R2(k).crit)
        R(k)=R1(k);
    else
        R(k)=R2(k);
}
```

ここで変数 $V(h)$ は $G(k-1, h)$ においてすべての選択辺が上向きに解消された際の n_0 から $(k-1)$ への臨

界経路長であり、 $C(h)$ はこのときの経路 $n_0 \rightarrow n(h) \rightarrow n(h-1) \cdots \rightarrow n(k+1) \rightarrow n(k) \rightarrow n(k-1)$ の長さである。
 $V(h)$, $C(h)$ は次式で計算される。

$$V(k-1) = C(k-1) = r(k-1); \\ C(h) = C(h-1) - r(h-1) + r(h) + b(h);$$

但し $k \leq h$.

$$V(h) = \max(C(h), V(h-1)); \text{ 但し } k \leq h.$$

$R1(k)$ は辺 $(n(k), n(k+1))$ が上向きにされた場合の $R(k)$ の値であり、 $R2(k)$ は下向きにされた場合のそれである。 $R(k)$ は $R1(k)$, $R2(k)$ のうち、 crit の値の小さい方となる。

$R1(k)$ の場合、 $S2(k, N)$ で解消された $G(k, N)$ に辺 $n(k) \rightarrow n(k-1)$ を追加した場合のみ考えればよい。このとき、経路 $n_0 \rightarrow n(k-1)$ が新しく臨界経路となるならこれは短くできない。

$G(k, N)$ 内の経路と辺 $n(k) \rightarrow n(k-1)$ とからなる経路 P が新しく臨界経路となる場合、 P を構成する選択辺 $(h, h+1)$ を下向きにすれば $G(k-1, N)$ の臨界経路を短くできる場合がある。式(2)は h を $k+1$ から $R(k+1).rev$ まで変えてこの場合を $O(N-k)$ で計算する。これ以外の $R1(k)$, $R2(k)$ は自明であり、省略する。 □

(平成元年 3月 31 日受付、8月 18 日再受付)

大森 匠



昭 60 東大・工・電気卒。昭 62 同大大学院情報工学専攻修士課程了、工学修士。現在、同大・後期博士課程在籍。トランザクション管理、ファイル編成法、演えきデータベース、ルールベースなどを研究している。情報処理学会会員。

喜連川 優



昭 53 東大・工・電子卒。昭 58 同大大学院情報工学博士課程了、工博。昭 59 東京大学生産技術研究所助教授。昭 60 情報処理学会学術奨励賞。並列コンピューターアーキテクチャ、データベース工学の研究をしている。「第 5 世代 コンピュータ」、「Database Machines and Knowledge Base Machines」(共著)、IEEE, ACM、情報処理学会各会員。

田中 英彦



昭 40 東大・工・電子卒。昭 45 同大大学院博士課程了、工博。東大講師、助教授、ニューヨーク市立大学客員教授を経て昭 62 より東大工学部教授。計算機アーキテクチャ、並列推論マシン、分散処理などの研究を行っている。「計算機アーキテクチャ」、「VLSI コンピュータ I, II」(いずれも共著)、「情報通信システム」著。情報処理学会、日本ソフトウェア科学会、人工知能学会、IEEE, ACM 各会員。